

# Modélisation des Extrêmes et des Records

## Application aux divers domaines

Zaher KHRAIBANI

Lebanese University-Faculty of Sciences

12 Mars 2020



Université Libanaise



laboratoire eau environnement systemes urbains

# Outline

Description

Théorie des Valeurs Extrêmes

Théorie des records

Méthodologie

Construction du processus

COVID-19 au Liban

Conclusion

Collaboration avec LEESU



Université Libanaise

- 1. Oil rig protection against wind and wave in Lebanon.**  
*Communications in Statistics: Case Studies, Data Analysis and Applications*, 2020, 6:2, 191-214.
- 2. Application of records theory on the COVID-19 pandemic in Lebanon: Prediction and prevention.**  
*Epidemiology and Infection*, 2020, 148, E192.
- 3. Collaboration avec LEESU**





# Des Applications

## Les risques climatiques

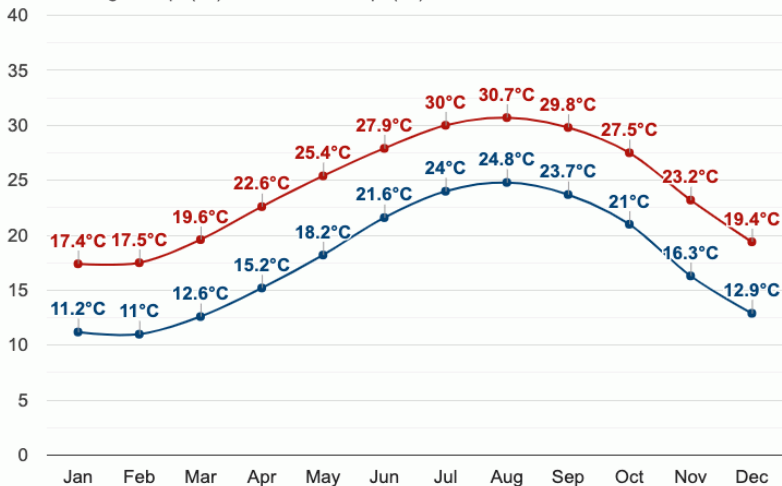
- Vagues de chaleur,
- Tempêtes,
- Inondations,
- Sécheresse,
- Tremblement de terre
- ...

doivent être évalués pour être anticipés pour pouvoir mettre en place une politique de prévention.

# En Climat (1)

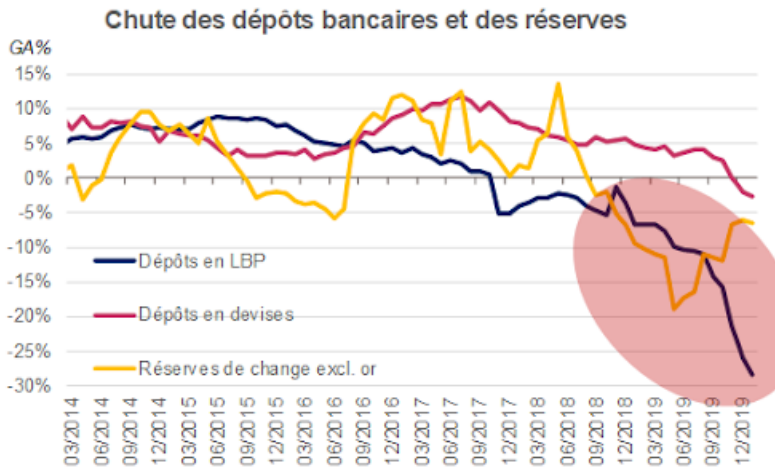
## Temperature - Beirut, Lebanon

● High Temp. (°C) ● Low Temp. (°C)





## En Finance (3)



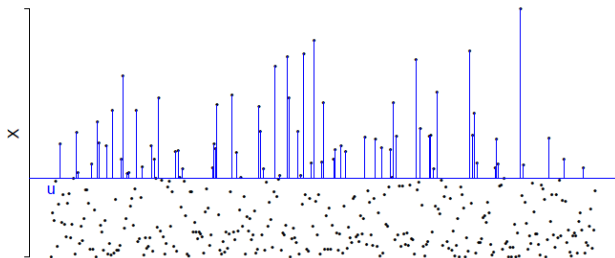
Sources : FMI, BDL, BSI Economics

**Figure 3:** Crise Financière au Liban



# Approche 1: Dépassements de seuils élevés

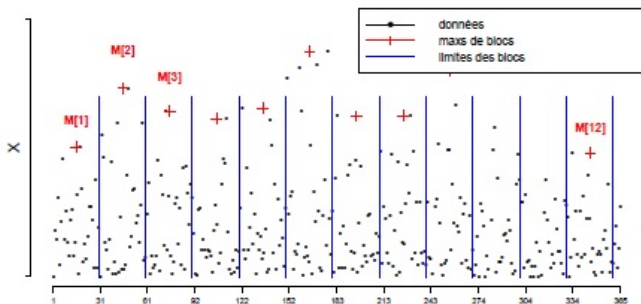
Grandeur d'intérêt  $X$  (niveau de l'eau, montant des dommages à payer par une assurance, température, émergence d'une maladie ...)



**Figure 4:** Méthode de dépassement seuil

Étant donné un seuil  $h$  élevé, trouver  $p = P(X > h)$ .

## Approche 2: Maxima sur de longues périodes



**Figure 5:** Méthode de Block Maxima

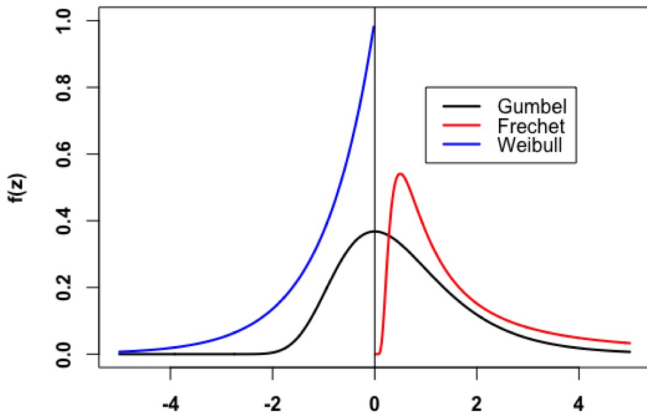
Maximum d'un bloc de taille  $n$ :

$$M_n = \max_{\{t=1, \dots, t\}} X_t$$

# Loi des valeurs extrêmes

Les maximas sont distribuées selon la distribution généralisée des valeurs extrêmes (GEV) :

$$P(x, \mu, \sigma, \psi) = \exp\left[-\left(1 + \psi \frac{x - \mu}{\sigma}\right)^{-1/\sigma}\right]$$



## Caractéristiques des Lois

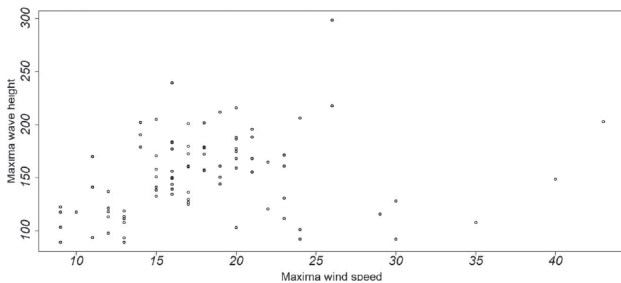
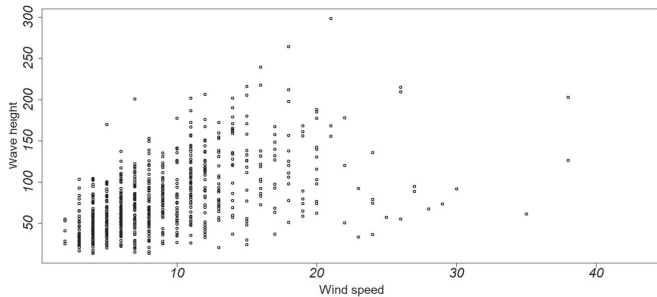
- **Loi de Gumbel**: Support non borné et à queues fines. Les maxima saisonniers ou annuels, en météorologiques, décrivent la fréquence des pluies extrêmes,...
- **Loi de Weibull**: Support borné. Etude de la fiabilité des infrastructures hydrauliques.
- **Loi de Fréchet**: Support non borné et à queues épaisses. Étude des événements extrêmes tels que le maximum annuel des précipitations journalières ou le débit des rivières,...

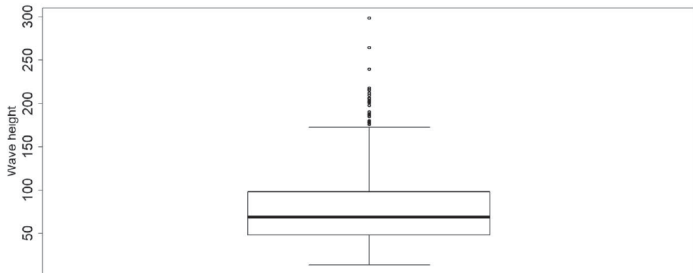
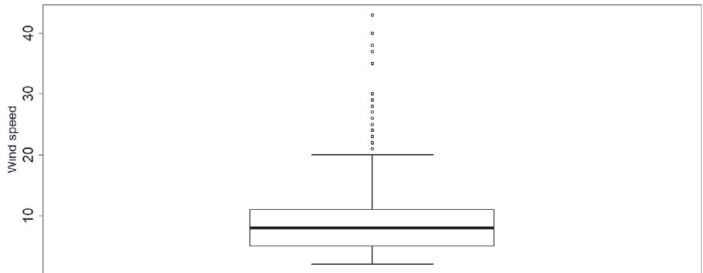




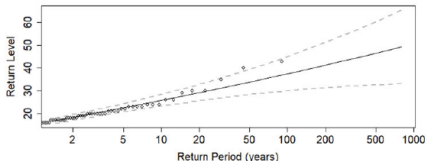
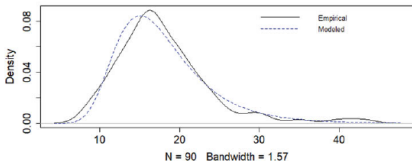
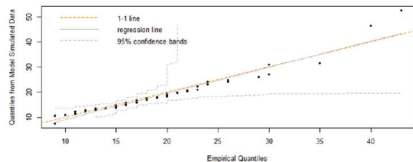
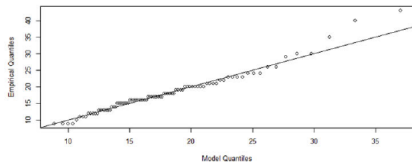
<u>Nom de la plateforme</u>	<u>Image</u>	<u>Profondeur</u>	<u>Lieu</u>	<u>Cause</u>	<u>Bilan</u>
1-kolskaya (autoélévatrice, 2011)		De 20 jusqu'à 100/120m	Russie	Tempête	67 <u>morts</u>
2-Usumacinta (autoélévatrice, 2007)		De 20 jusqu'à 100/120m	<u>Golfe de Mexique</u>	Tempête → Déplacement → Collision → Explosion	22 <u>morts</u>
3-Plateformes pétrolières (2005)			<u>Golfe de Mexique</u>	<u>Ouragan Katrina</u>	58 <u>plateformes</u> endommagées 30 perdues
4-Seacrest (Navire de forage, 1989)		>500m Mer profonde et <u>ultraprofonde</u>	<u>Golfe de Thaïlande</u>	Typhon, Vents violents, Vagues de 12m	91 <u>morts</u>
5-Ocean Ranger (1982)		>500 m Mer profonde et <u>Ultraprofonde</u>	<u>Eaux Canadiennes</u>	Vagues	84 <u>morts</u>

# Data:2000-2015 (n=1353)





# Distribution des Maxima: Vitesse de vent



# Niveau de retour:(Vent;Vague)

**Table 5.** Return levels for  $X^*$  and  $Y^*$ .

$T$ (years)	$\hat{q}_{X^*,T}$	$\hat{q}_{Y^*,T}$
50	43.570	284.839
100	47.530	298.510
500	57.197	327.238

**Table 6.** Confidence interval of the return levels for  $X^*$  and  $Y^*$ .

$T$ (years)	Confidence interval of $q_{X^*,T}$	Confidence interval of $q_{Y^*,T}$
50	[32.014,55.126]	[237.160,332.517]
100	[32.831,62.228]	[240.854,356.166]
500	[33.271,81.123]	[244.034,410.442]





# Application des records

Intérêt des records successifs dans différents domaines tels que :

- Sports (records olympiques, Mellon, B. 1988).
- Economie et finance (gestions de produits financiers, d'assurances Paul E. 2008).
- Phénomènes naturels (crues, pressions atmosphériques, séismes,...Richard M.2003, Khraibani et al.2018).
- Contrôle de systèmes industriels (évaluer les facteurs de panne et limiter leur intensité ).
- Épidémiologie (Khraibani et al. 2014).

## Caractéristiques des records

1. Robustesse dans le cas de v.a.i.i.d. Lois exactes a  $n$  fini par rapport a la théorie classique des valeurs extrêmes (TVE).
2. Pas déraisonnable de modéliser les  $X_n$  par les distributions (GEV). Gumbel, Weibull, Fréchet
3. Nevzorov 2014, les utilisent pour créer un test détectant les valeurs aberrantes dans un jeu de données "normal".
4. Le processus de records représente la tendance maximale observée d'un tel phénomène.
5. Khraibani 2014, test non-paramétrique basé sur le nombre de records observés.

## Travaux sur les records

1. Demand forecasting using the Records theory: Evidence from French spatial data infrastructures (en cours).
2. Application of records theory on the COVID-19 pandemic in Lebanon: Prediction and Prevention. *Epidemiology and Infection*, 2020.
3. Analysis of the extreme and records values for temperature and precipitation in Lebanon. *Communications in Statistics*, 2020.
4. Inférence fondée sur la vraisemblance pour des modèles de records. *Comptes Rendus Mathématique*, 2018.
5. A non parametric exact test based on the number of records for an early detection of emerging events: Illustration in epidemiology. *Communications in Statistics*, 2015.
6. Application of the Records Method to Identify the Sporadicity of Percnon gibbesi Distribution in Greece. *Journal of Scientific Research and Reports*, 2014.

## Exemple d'application 2

### Application of records theory on the COVID-19 pandemic in Lebanon: Prediction and prevention

- Détecter l'émergence d'une nouvelle maladie pour laquelle on a peu d'observations (cas d'une première émergence).
- Déterminer s'il s'agit d'une maladie sporadique ou d'une maladie émergente en se basant sur l'approche par processus de records.

## Qu'est ce qu'une maladie émergente ?

- Maladie dont l'incidence réelle augmente de manière significative dans une population, période donnée (**début d'épidémie**).
- Infections nouvelles, causées par l'évolution ou la modification d'un agent **pathogène** ou d'un **parasite** existant.
- L'événement de démarrage de l'émergence est la transition de la stabilité de l'état **0 pathogène** à l'instabilité de cet état.

## Définition mathématique d'une maladie émergente

- Soit  $Y_n$  le pourcentage de cas cliniques dans une population au temps  $n$ , tel que  $Y_n = f(Y_{n-1})$  et  $f(0) = 0$ . En utilisant le développement de Taylor à l'ordre 1 au voisinage de 0 et en supposant  $Y_0$  petit:



## Définition mathématique d'une maladie émergente

- Soit  $Y_n$  le pourcentage de cas cliniques dans une population au temps  $n$ , tel que  $Y_n = f(Y_{n-1})$  et  $f(0) = 0$ . En utilisant le développement de Taylor à l'ordre 1 au voisinage de 0 et en supposant  $Y_0$  petit:
- $f(Y_0) = f(0) + Y_0 f'(0) + O(Y_0^2) \Rightarrow f(Y_0) \approx Y_0 f'(0)$ .
- $Y_1 = f(Y_0) = Y_0 f'(0) + O(Y_0^2)$



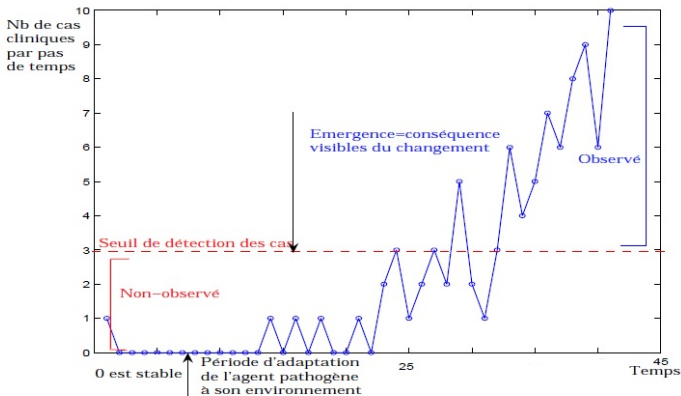


- Dans le cas d'une émergence:  $f'(0) > 1$  et on obtient :

$$f(Y_0) > Y_0 \Rightarrow Y_1 > Y_0$$

donc  $Y_n$  ne reste pas négligeable.

**Figure 6:** Émergence d'une maladie

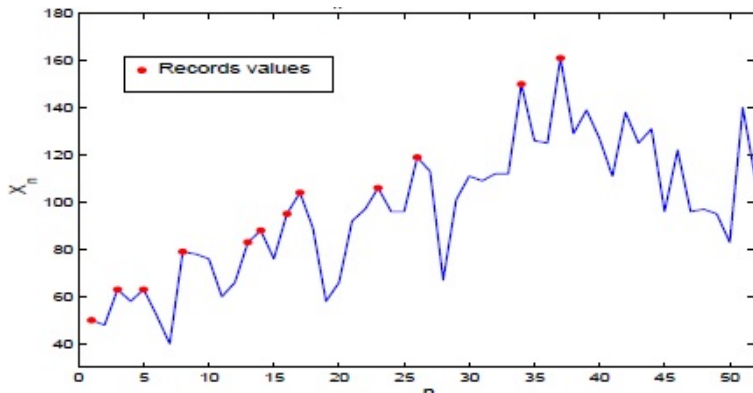


## Orientations méthodologiques

- Méthodes classiques pour détecter l'émergence ou la réémergence :
  - Méthodes asymptotiques (Colses,S.2001).
  - Méthodes descriptives (lissages, Tager IB 1996).
  - Méthodes exactes (tests non paramétriques (Run) William H. 2008).

## Représentation des valeurs de records

- Le processus de records représente la tendance maximale observée de l'épidémie.



## Définition du processus de records

- Par Définition,  $\{R_n : n \geq 1\}$  et  $\{L_n : n \geq 1\}$  sont respectivement la suite des valeurs des records et la suite des indices des records. Plus précisément :

$$L_1 = 1$$

$$L_n = \inf\{j > L_{n-1} : X_j > X_{L_{n-1}}\}$$

$$R_n = X_{L_n}$$

- Soit  $N_n$  le nombre total des records parmi  $\{X_1; \dots; X_n\}$  avec  $N_1 = 1$ :

$$N_n = \sum_{j=1}^n \delta_j;$$

où  $\delta_j$  est l'indicatrice de record tel que :

$$\delta_j = \begin{cases} 1, & \text{si } X_j > \max(X_1, \dots, X_{j-1}) \\ 0, & \text{sinon} \end{cases}$$

## Nombre de records

Les principaux résultats de la Théorie de Record dans le cas i.i.d. ont été obtenus au cours de la période 1952-1983 (Voir Chandler (1953), Arnold (1998) et Nevzorov (2001) ):

- Les v.a.  $\{\delta_n\}_{n \geq 1}$  sont indépendantes et  $\delta_n \sim \text{Bernoulli}(1/n)$  avec :

$$\begin{aligned} P_n &= \text{taux de record (la probabilité que } X_n \text{ soit un record)} \\ &= \mathbb{P}[\delta_n = 1] \\ &= 1/n \end{aligned}$$

- La distribution exacte de  $N_n$  est donnée par:

$$\mathbb{P}[N_n = m] = \frac{s(n, m)}{n!}, \quad 0 \leq m \leq n$$

- En plus Arnold et Nevzorov donnent les distributions marginales et jointes des suites  $\{R_n\}_{n \geq 1}$  et  $\{L_n\}_{n \geq 1}$ .





# Formalisation des hypothèses à tester

1.  $H_0$  (cas sporadiques):  $\{\Delta S_n\}$  i.i.d,

$$P(\Delta S_n \leq s) := E(s) = 1 - \exp(-\lambda s) \text{ (loi sans mémoire).}$$

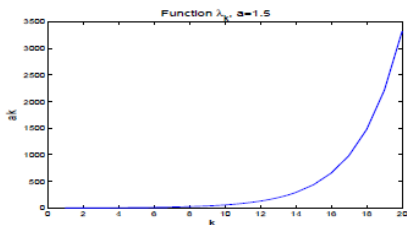
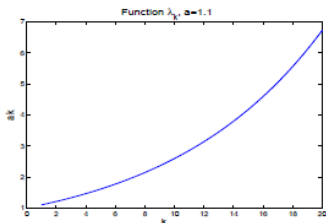
2.  $H_1$  (émergence):  $\{\Delta S_n\}$  indépendantes,  $\bar{E}_n = \bar{E}_n^{\rho_n}$ ,

$$(\bar{E}_n = 1 - E), \{\rho_n\}_n \text{ suite positive croissante.}$$

## Fréquence de l'émergence

- $E(\Delta T_k) = (\lambda_k)^{-1}$  où  $\lambda_k = \lambda \cdot \rho_k = \lambda \cdot a^k$  est la fréquence du nombre de cas par unité de temps au temps  $T_k$ ,  $a > 1$ , croissance exponentielle d'une maladie infectieuse.

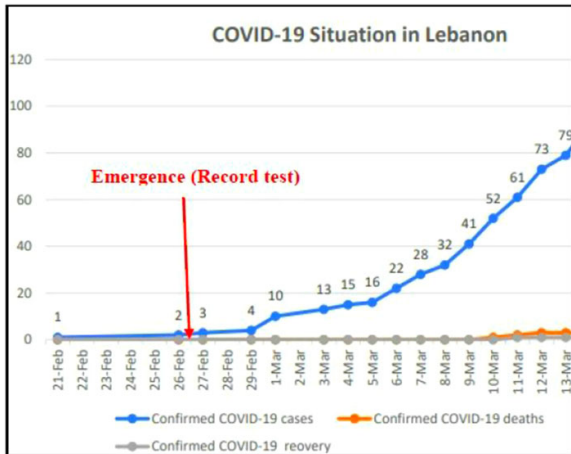
**Figure 8:** Fonction  $\{\lambda_k\}$  où  $\lambda_k = a^k$ , pour  $a = (1.1, 1.5)$  et  $\lambda = 1$ .





# Illustration graphique

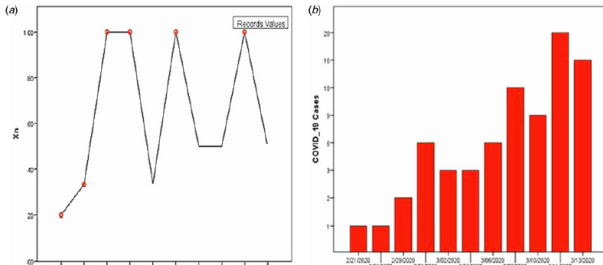
**Figure 9:** Daily cumulative/emerged number of confirmed, fatal and recovered cases of Coronavirus Disease 2019 (COVID-19) in Lebanon.



# Description

- Nouvelle maladie, observée dans différents pays, pas d'information épidémiologique.
- 10 cas détectés au Liban de 21 Fev.2020 au 1 Mars 2020.
- $\Delta T_n$ , le temps d'interarrivée entre le  $n$ ième et le  $(n + 1)$ ième cas.

**Figure 10:** (a) Records values of  $X_n = (\Delta T_n)^{-1}$ . (b) Number of observed COVID-19 cases per day.







## Prévision de l'émergence

- En prenant en compte les futurs COVID-19 records, nous calculons la probabilité de temps d'attente ( $\Delta T_n^*$ ) pour observer un nouveau records:

$$P(\Delta T_n^* > n^*) = \frac{n'}{n' + n^*}$$

- Pour ( $n^* = 5$ ) et  $n' = 22$  jours (21 février 2020-13 mars 2020):
- $P(\Delta T_n^* > 5) = 22/(22 + 5) \approx 0,82 \Rightarrow$  **Croissance rapide de la fréquence du COVID-19 au Liban sur une courte période.**

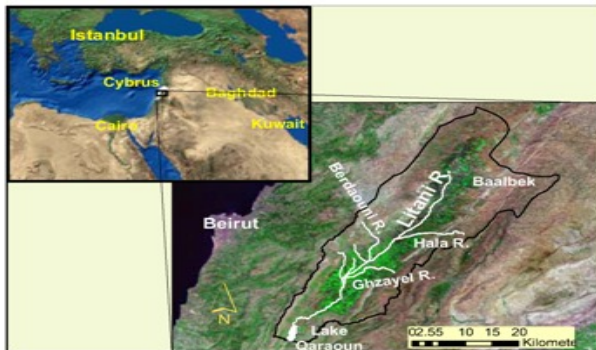
## Conclusion

1. Nouvelle méthodologie pour détecter l'émergence d'une nouvelle maladie.
2. Tester  $H_0$  (maladie sporadique) contre  $H_1$  (émergence de la maladie).
3.  $N_n$ : statistique de test (robuste) indépendante de  $F$  sous  $H_0$  et  $H_1$ , exactement calculée pour chaque valeur de  $n$ .
4. Sous  $H_1$  la distribution du  $N_n$  dépend seulement du paramètre  $\rho_k = a^k$  (croissance exponentielle du nombre de cas d'une maladie infectieuse).
5. L'approche par les records est particulièrement adéquate pour  $n$  petit.

## Collaboration avec LEESU

Thèse en cours (Alya ATOUI): Evaluation des impacts environnementaux au Liban: Eau-sol-air.

Directeur: Régis Moilleron, Co-Directeur: Samir Abbad Andaloussi



## Quelques annonces...

1. Lancement du premier AaP de l'Institut des Mathématiques pour la Planète Terre.
2. Appel à projets 2021 : Programme IntenSciF (AUF)
3. Bourses Doctorales CNRS-L/Ambassade de France au Liban
4. Projet CEDRE: Partenariat Hubert Curien (PHC) franco-libanais